Фотоэлектрические и информационные свойства фоточувствительных карбазолилсодержащих олигомерных пленочных композитов с добавками фотохромного стильбенового красителя.

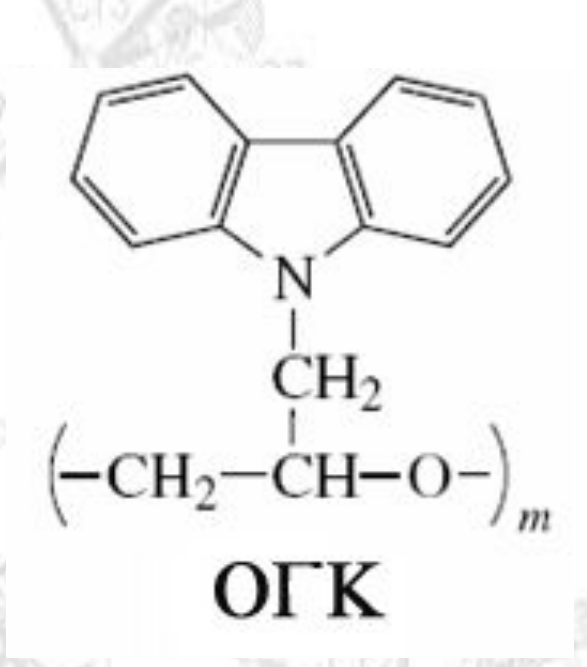
> Савицкая Евгения Васильевна студентка IV курса кафедры Н/Х, Студзинский Сергей Леонидович к.х.н., доцент кафедры ХВМС химический факультет

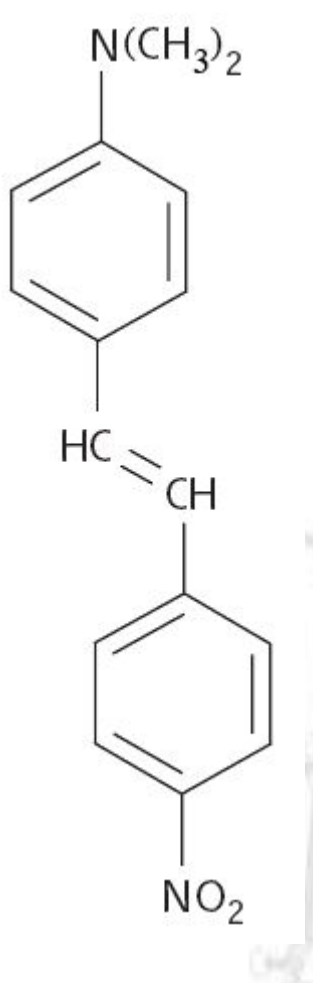
PHOTOELECTRIC PROPERTIES OF NEW PHOTOSENSITIVE CARBAZOLE-BASED OLIGOMERIC FILM COMPOSITES DOPED WITH PHOTOCHROMIC STILBENE DYE

Окрашенные фотопроводящие полимерные композиции (ФПК) находят широкое применение при разработке сред фотовольтаики, оптической записи информации (голографии), фотохромных сред и других приложений молекулярной фотоники. Полимерные пленочные ФПК сенсибилизированные разлиными органическими красителями, выгодно отличаются в этом смысле своей пластичностью, дешевизной, возможностью варьировать в широких пределах оптические характеристики таких систем и т.д. В связи с исследование таких систем частности, фото- и электрофизических процессов происходящих в них представляет значительный интерес.

■ Целью нашей работы – было создание фоточувствительных олигомерных композиций для на основе олиго-N-глицидилкарбазола с добавками различных стильбенового концентрации красителя (....) и исследование их фотоэлектрических информационных свойств.

ОБЪЕКТЫ ИССЛЕДОВАНИЯ





Stilb

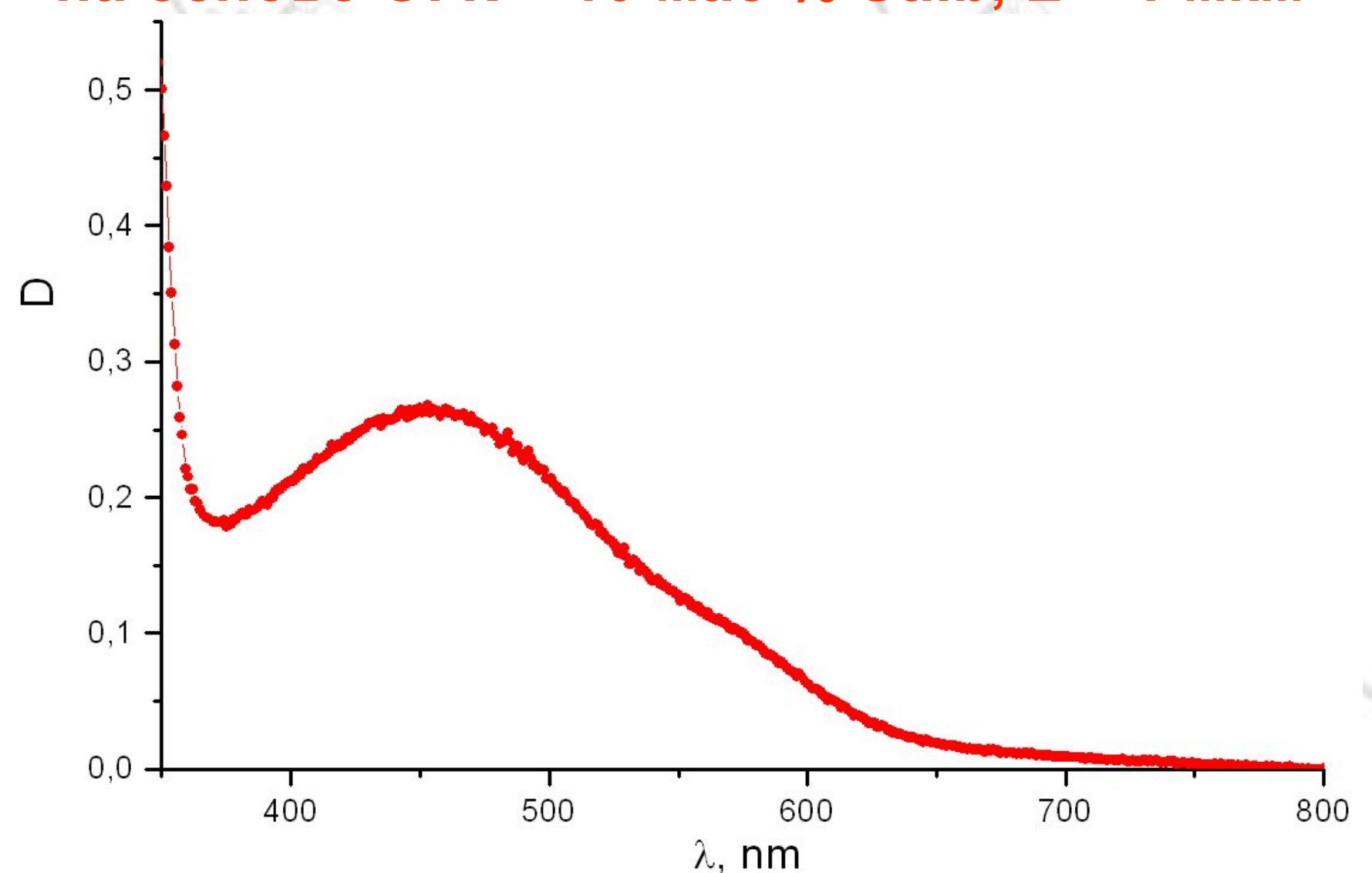
Типы используемых в исследовании образцов пленочных композитов



Образец со свободной поверхностью олигомерного композита



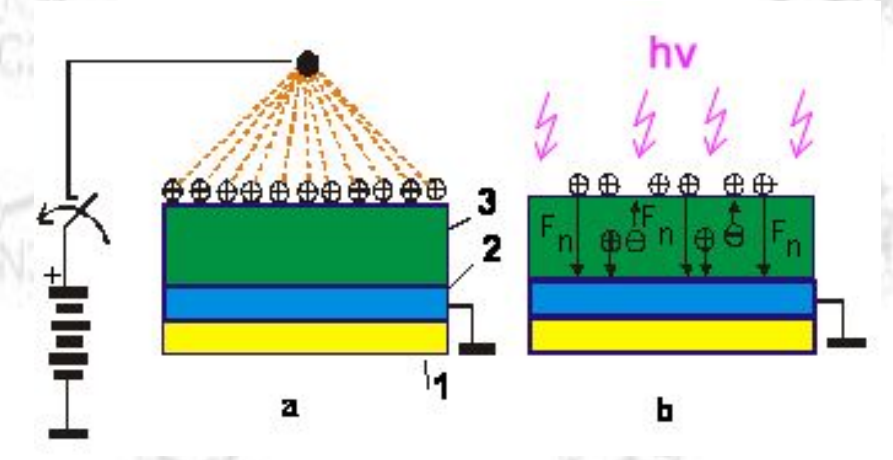
Спектр оптического поглощения пленки ФПК на основе ОГК + 10 мас % Stilb, L = 1 мкм

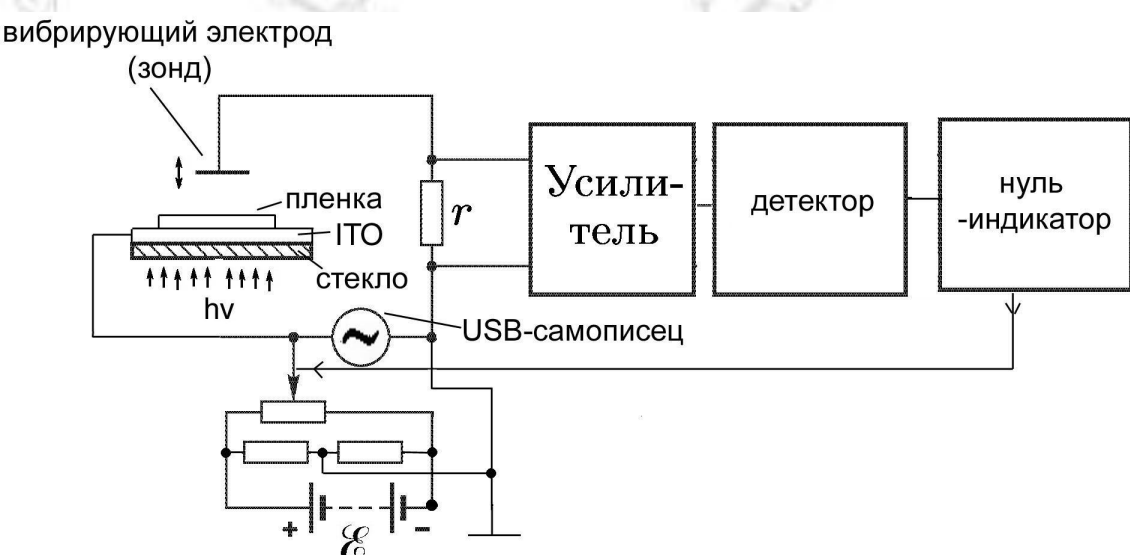


Электро- и фотопроводящие свойства исследуемых композитов

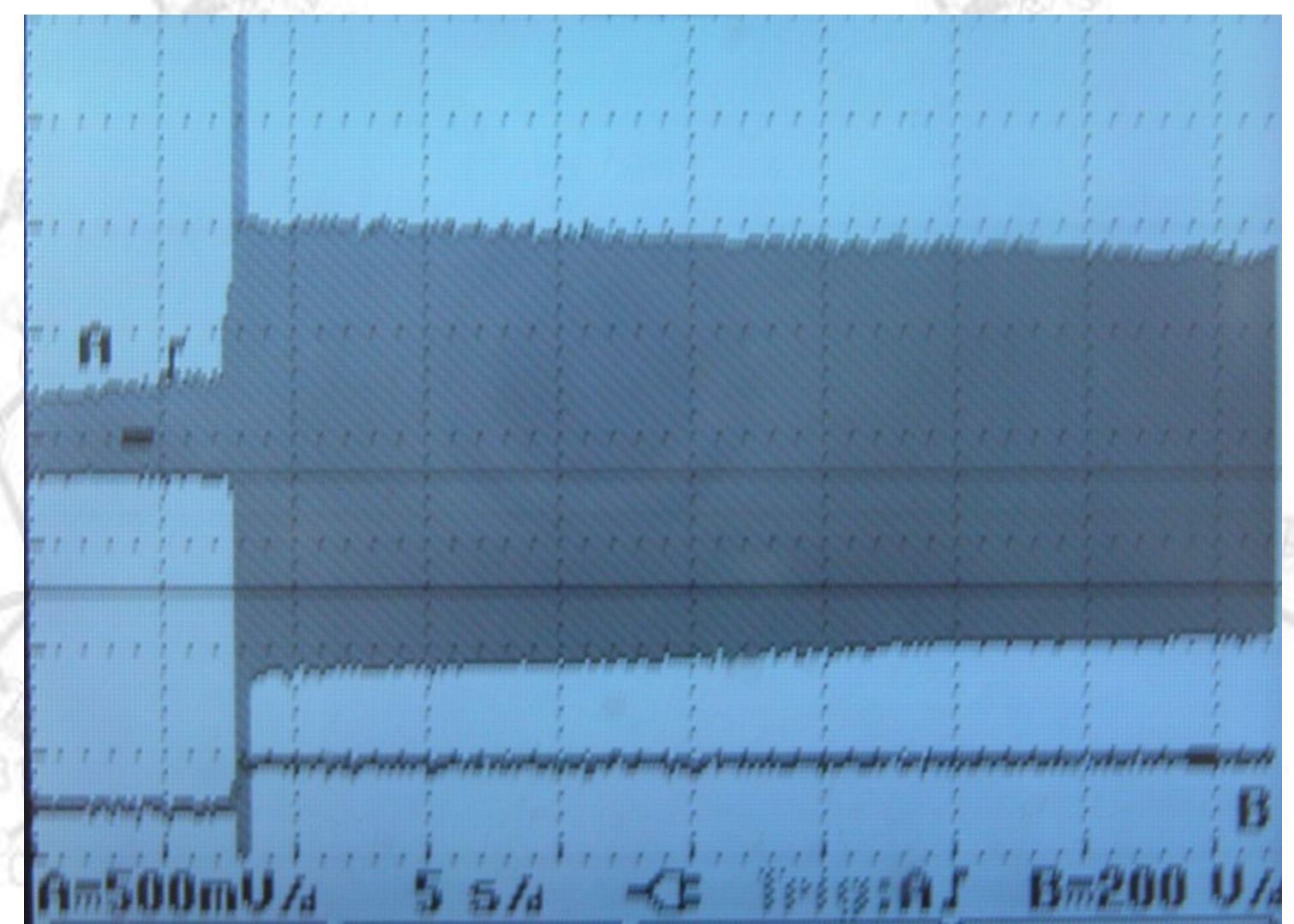


Схема электрофотографических исследований





Осциллограмма кинетики спада темнового потенциала заряженной поверхности исследуемого композита в электрофотографическом режиме



Осциллограмма кинетики фотоиндуцированного спада потенциала заряженной поверхности исследуемого композита в электрофотографическом режиме, $\lambda = 532$ нм, I = 100 BT/м²

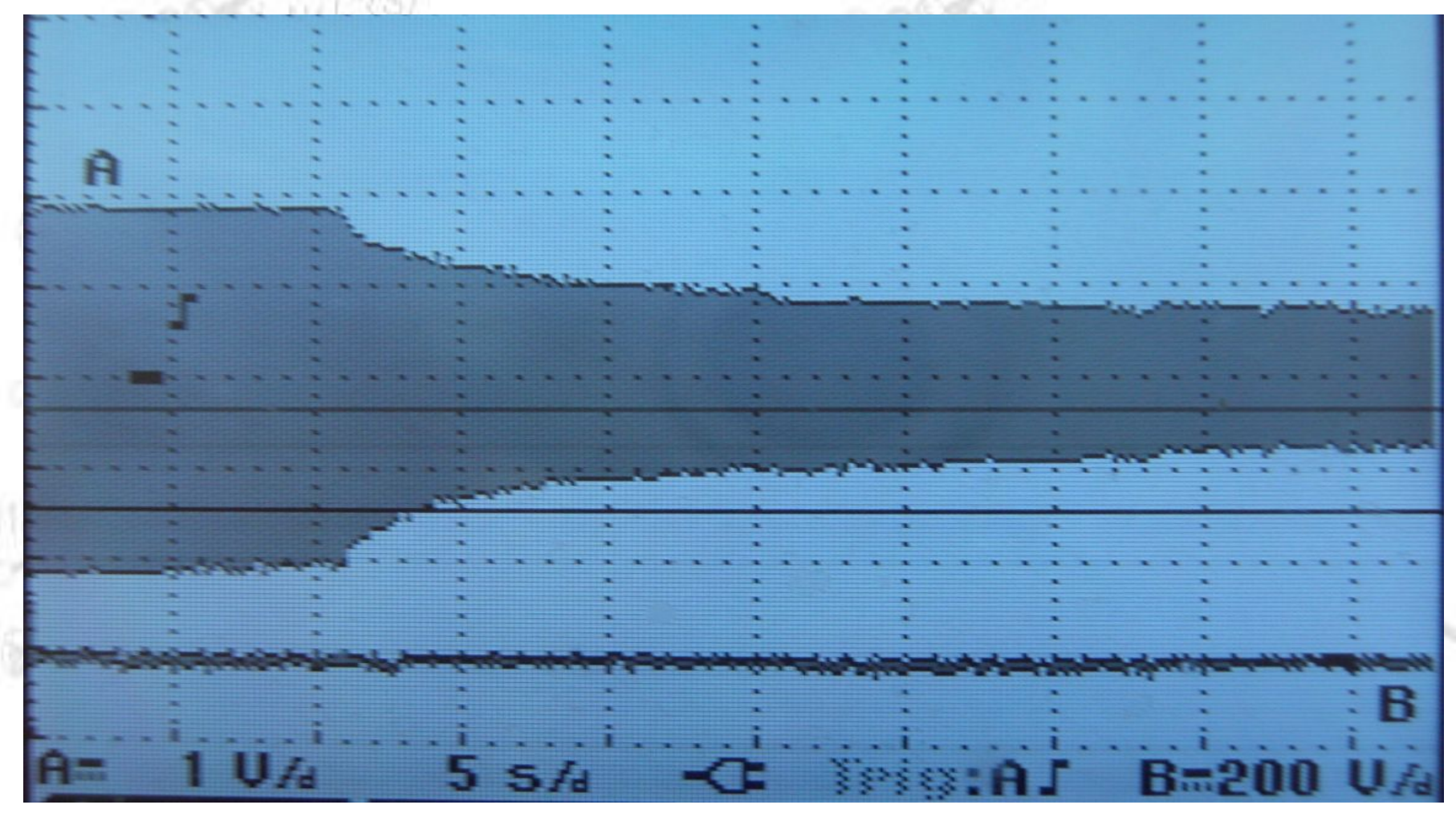


Схема фотогенерации неравновесных носителей заряда в ФПК на основе ОГК с добавками стильбенового красителя (Stilb).

I. Сенсибилизированная фотогенерация стильбенового красителя (Stilb) в присутствии донорных карбазолильных фрагментов (Cz), обеспечивающих также дырочный транспорт: Stilb - Stilb*

$$Cz + ... + Cz + Cz + Stilb* \longrightarrow$$

$$\longrightarrow$$
 Cz + ...+ Cz + Cz⁺ + Stilb⁻ \longrightarrow (1)

$$\longrightarrow$$
 Cz + ...+ Cz + Cz + Stilb + hv_r , (2)

или
$$Cz + ... + Cz + Cz^{+} + Stilb^{-} \longrightarrow$$

$$\longrightarrow$$
 Cz + ...+ Cz⁺ + Cz + Stilb⁻ \longrightarrow

$$\longrightarrow \mathbf{Cz'}^+ + ... + \mathbf{Cz} + \mathbf{Cz} + \mathbf{Stilb'}^-$$
 (3)

$$\longrightarrow$$
 Cz⁺ + Stilb + Stilb \longrightarrow + ...+ Stilb \longrightarrow

$$\longrightarrow$$
 Cz⁺⁺ + Stilb + Stilb + ...+ Stilb (3')

II. Собственная фотогенерация стильбенового

красителя:

$$Stilb^* + Stilb \longrightarrow Stilb^* + Stilb^* \longrightarrow (1')$$

$$\longrightarrow$$
 2Stilb + hv_r (2')

$$Stilb^{*-} + ... + Stilb + Stilb + Stilb^{*+} \longrightarrow (3")$$

HOND

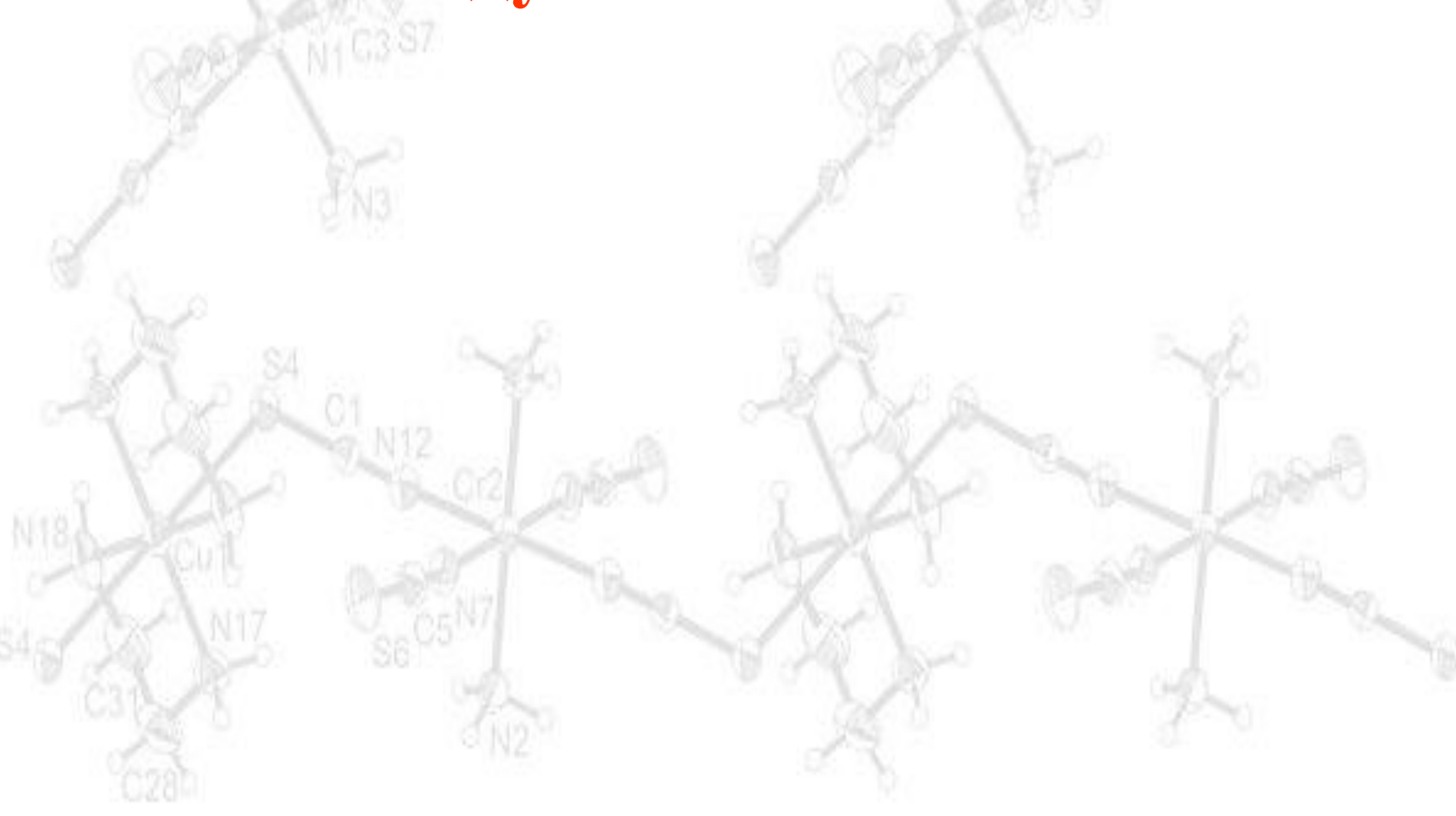
И

где (1, 1') – Фотогенерация геминальной електрондырочной пары (ЭДП)

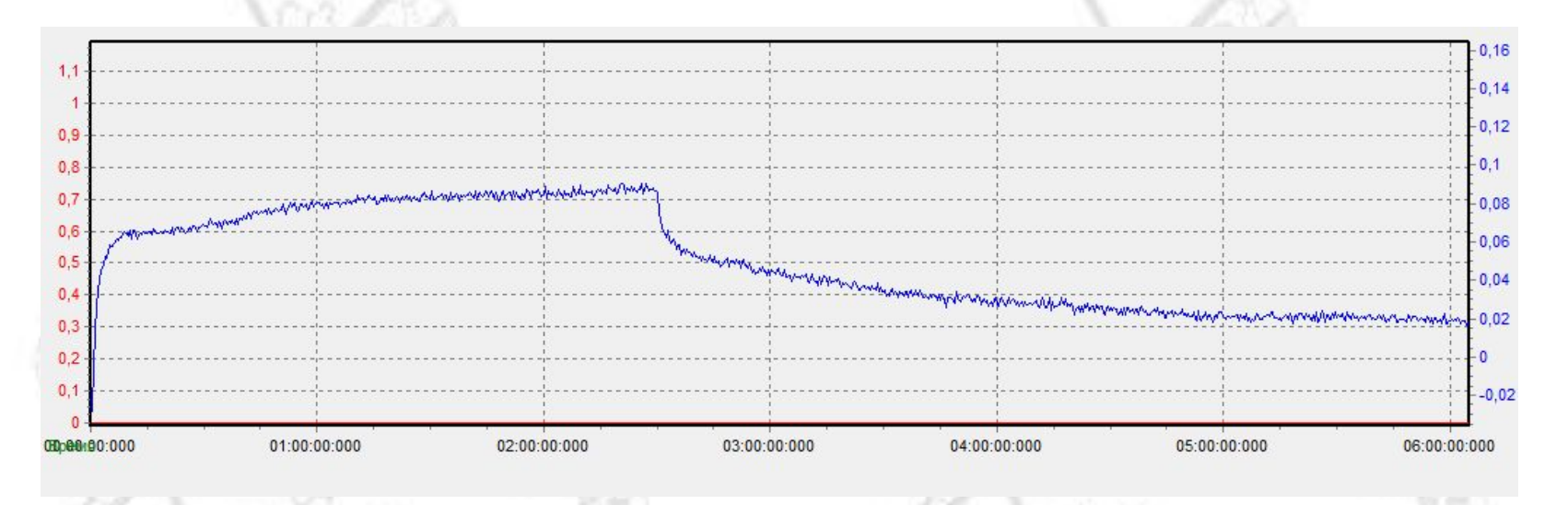
(2, 2') - Рекомбинация ЭДП

(3, 3', 3", 3"") – Диссоциация геминальной (ЭДП)

Фотовольтаические свойства исследуемых композитов

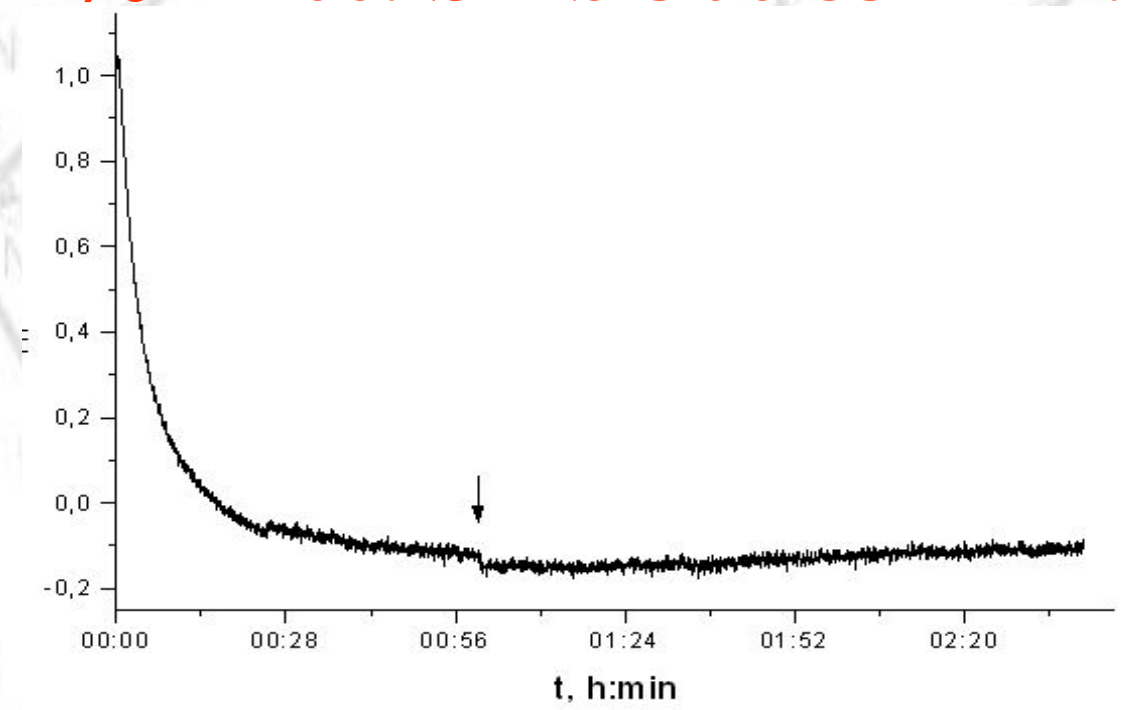


$O\Gamma K + 10\%$ macc. Stilb



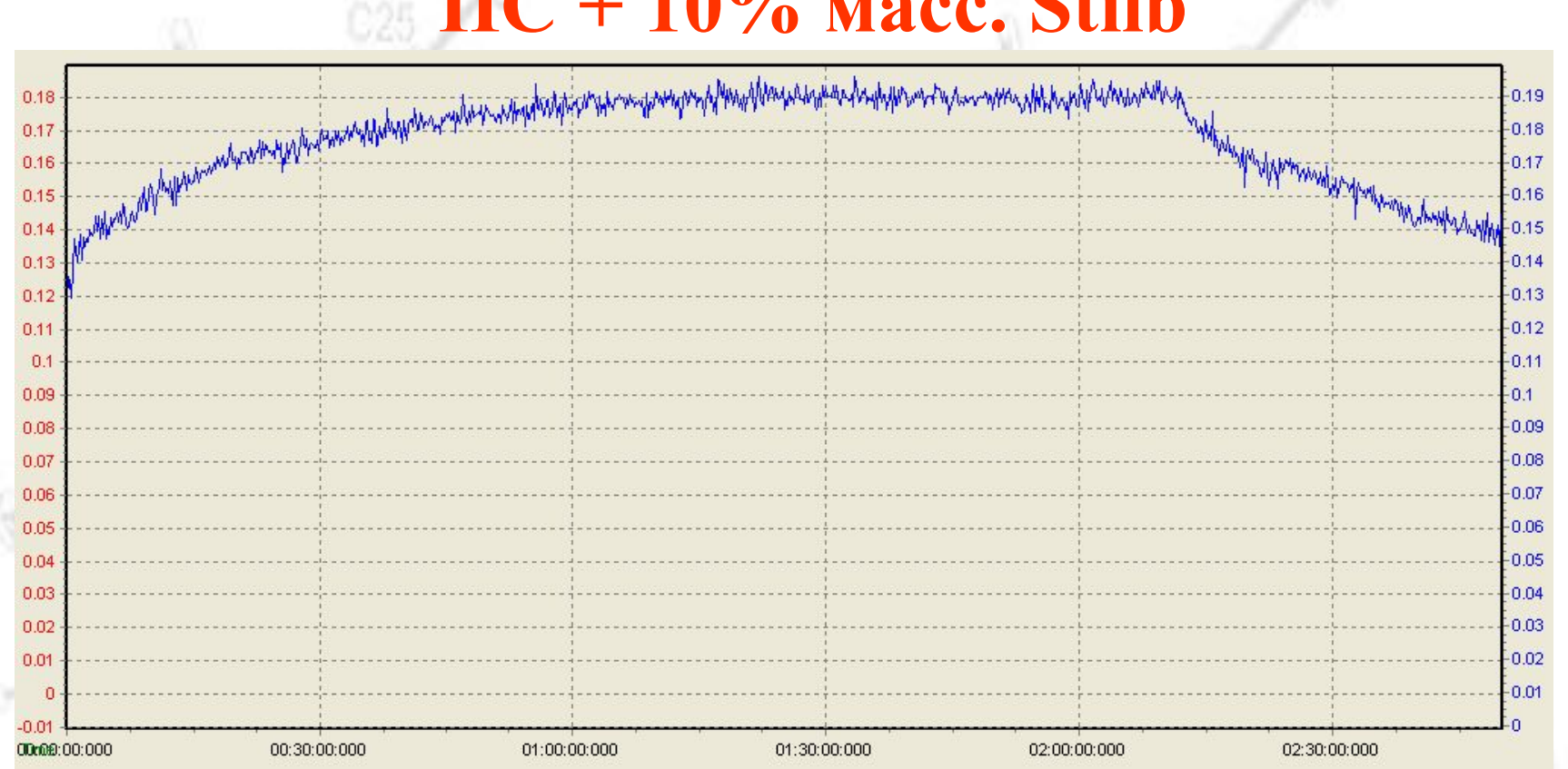
Осциллограмма кинетики фотовольтаического отклика пленки ФПК на основе ОГК + 10% масс. Stilb при облучении со стороны ITO-электрода исследуемого образца светом белого полупроводникового светодиода (I = 40 Bт/м²; Материал зонда - Ag. Моменты включения и прекращения облучения показаны вертикальными стрелками.

ОГК + 2% масс. Stilb 30c 83 мин.



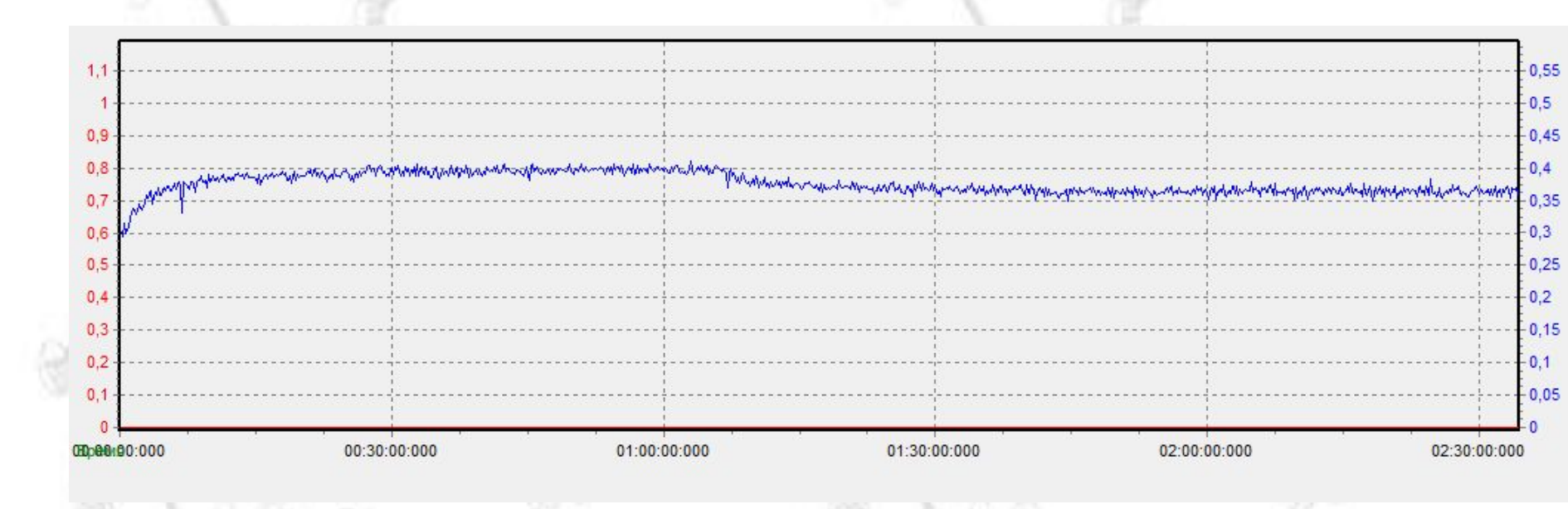
Осциллограмма кинетики фотовольтаического отклика пленки ФПК на основе ОГК + 2% масс. Stilb при облучении со стороны ITO-электрода исследуемого образца светом белого полупроводникового светодиода (I = 40 Bт/м²; Материал зонда - Ag. Моменты включения и прекращения облучения показаны вертикальными стрелками.

Π C + 10% macc. Stilb



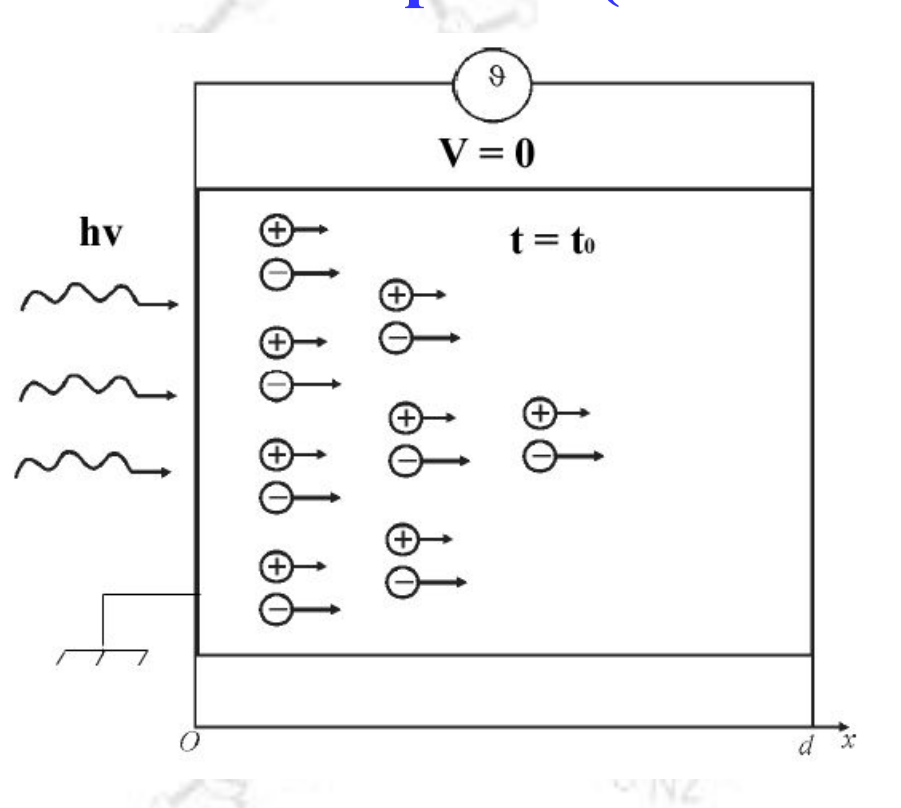
Осциллограмма кинетики фотовольтаического отклика пленки ФПК на основе ПС + 10% масс. Stilb при облучении со стороны ІТО-электрода исследуемого образца светом белого полупроводникового светодиода (І Материал зонда - Ag. Моменты включения и прекращения облучения показаны вертикальными стрелками.

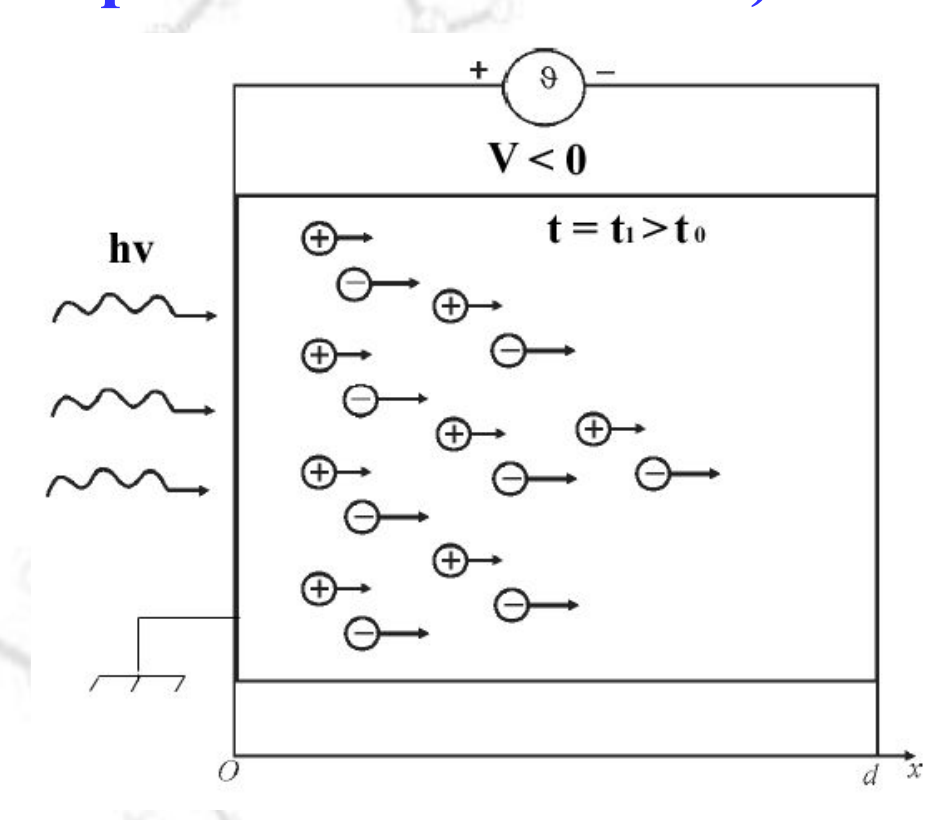
ПС + 2% масс. Stilb



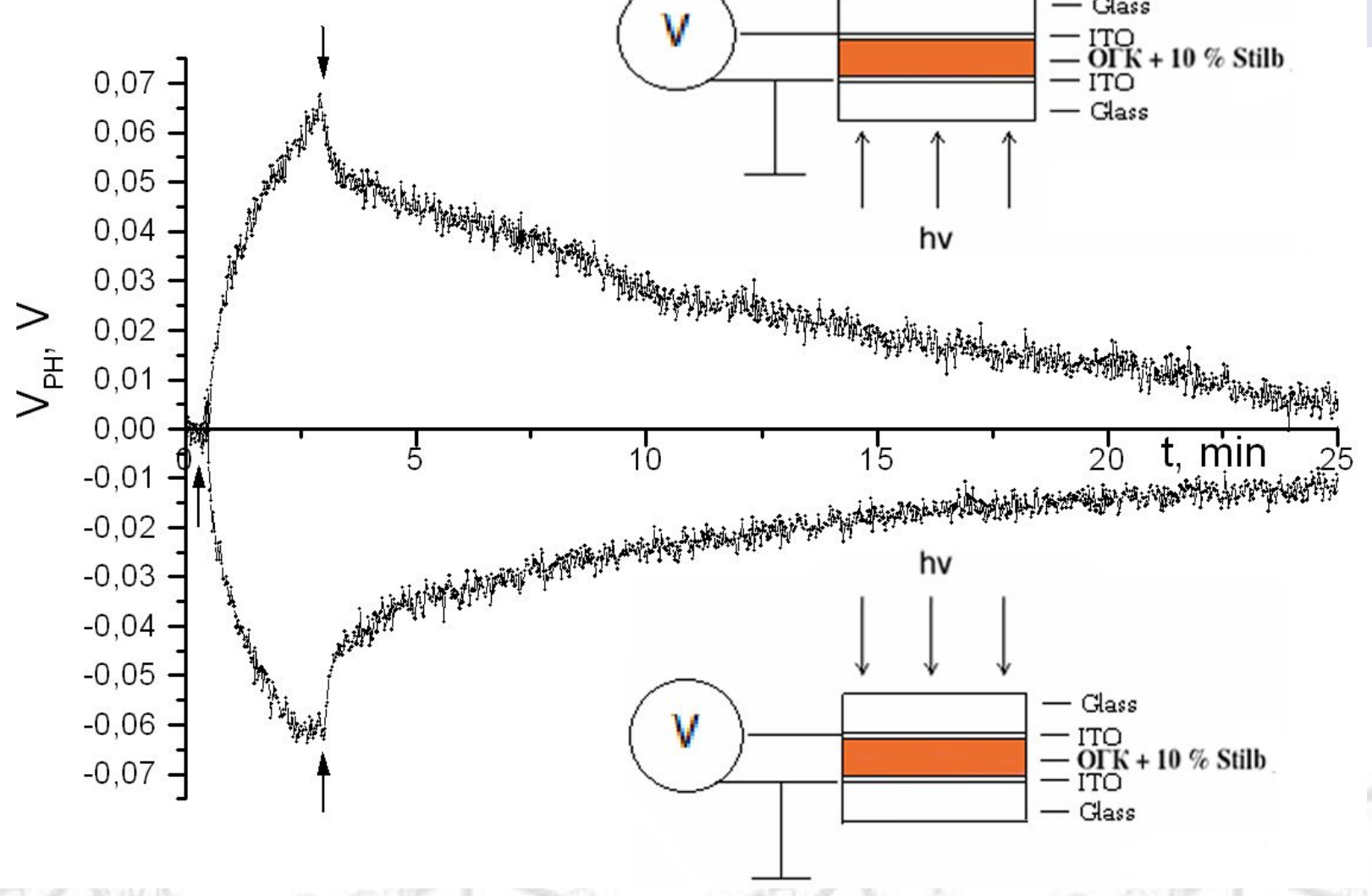
Осциллограмма кинетики фотовольтаического отклика пленки ФПК на основе ПС + 2% масс. Stilb при облучении со стороны ITO-электрода исследуемого образца светом белого полупроводникового светодиода (I = 40 Bт/м²; Материал зонда - Ag. Моменты включения и прекращения облучения показаны вертикальными стрелками.

Схема, поясняющая сущность Дембер-эффекта - возникновения фотодиффузионной ЭДС при неравномерном облучении образца полупроводника для случая, когда наиболее подвижными являются электроны (негативно заряженные носители)







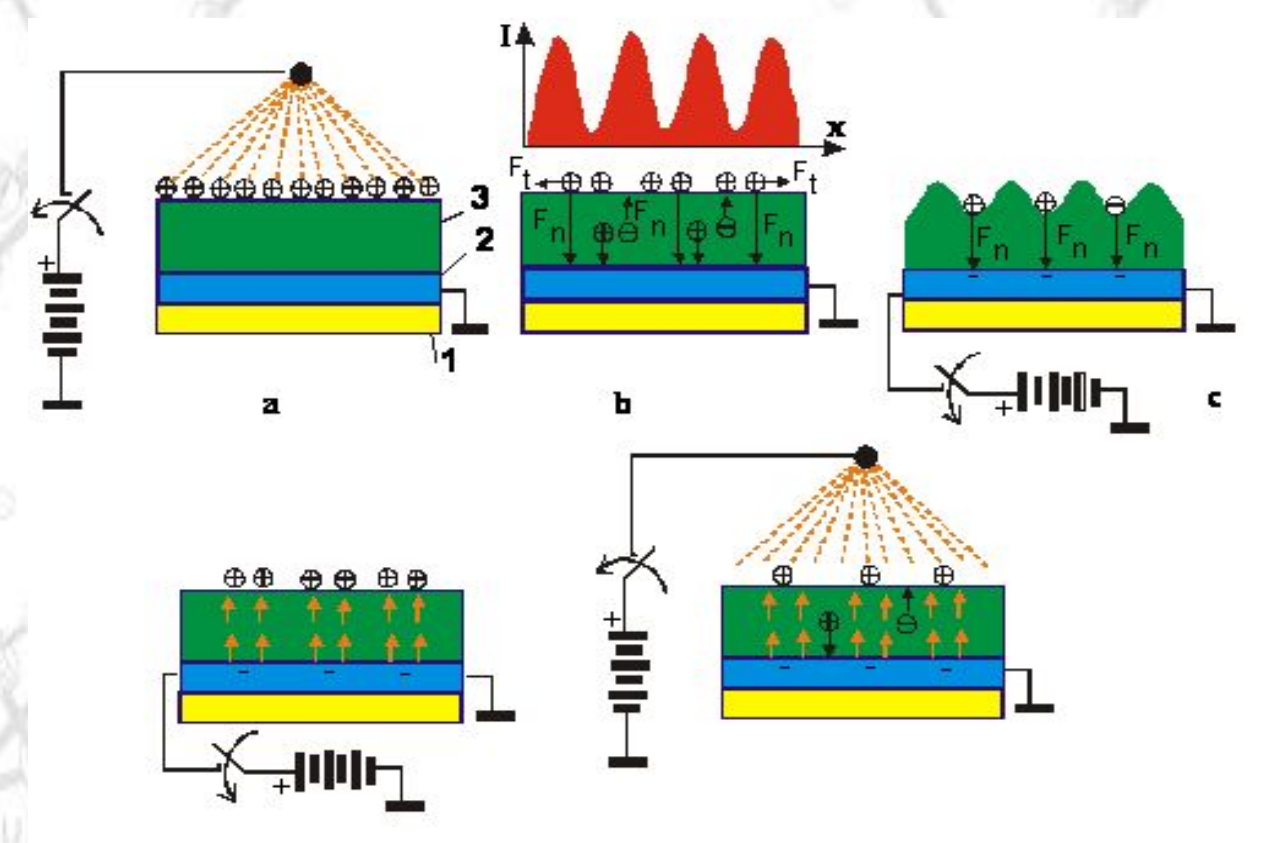


Кинетики наростания и релаксации фотовольтаического отклика в образце ФПК сендвич-структуры симметричного типа ITO-ФПК-ITO на основе ОГК + 10 % Stilb при облучении с различных сторон образца светом белого полупроводникового светодиода (I = 40 Bт/м²), и схема соответствующего фотовольтаического эксперимента. Моменты времени включения и выключения облучения показаны вертикальными стрелками.

Голографические регистрирующие среды на основе пленок ОГК с добавками стильбенового красителя



Схематическое изображение фототермо-пластического способа записи голограмм



1а – зарядка поверхности фотопроводящей олигомерной пленки в коронном разряде; 1b – экспонирование; 1с – проявление скрытого изображения; 1d – стирание записанной голограммы; 1е – зарядка поверхности фотопроводящей полимерной пленки в коронном разряде перед последующим циклом записи голограммы.

Микрофотографии участков поверхности пленок ФПК с высокой концентрацией красителя-сенсибилизатора

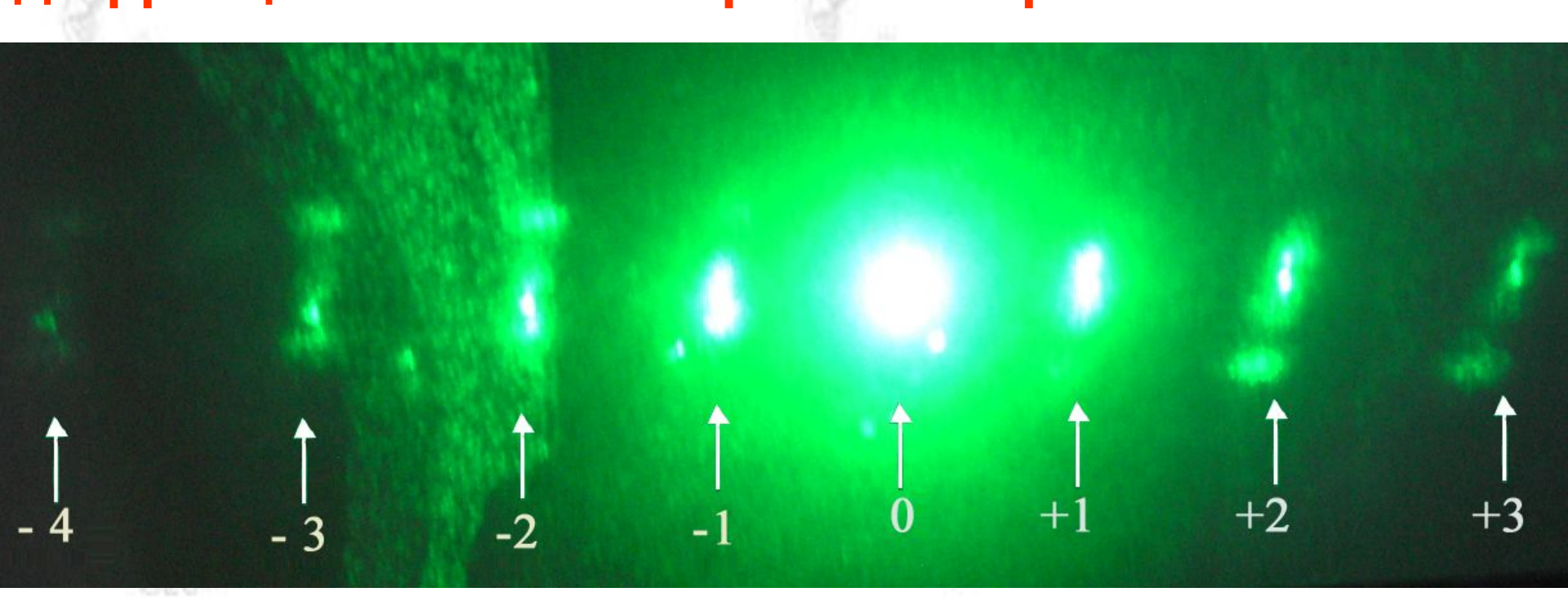




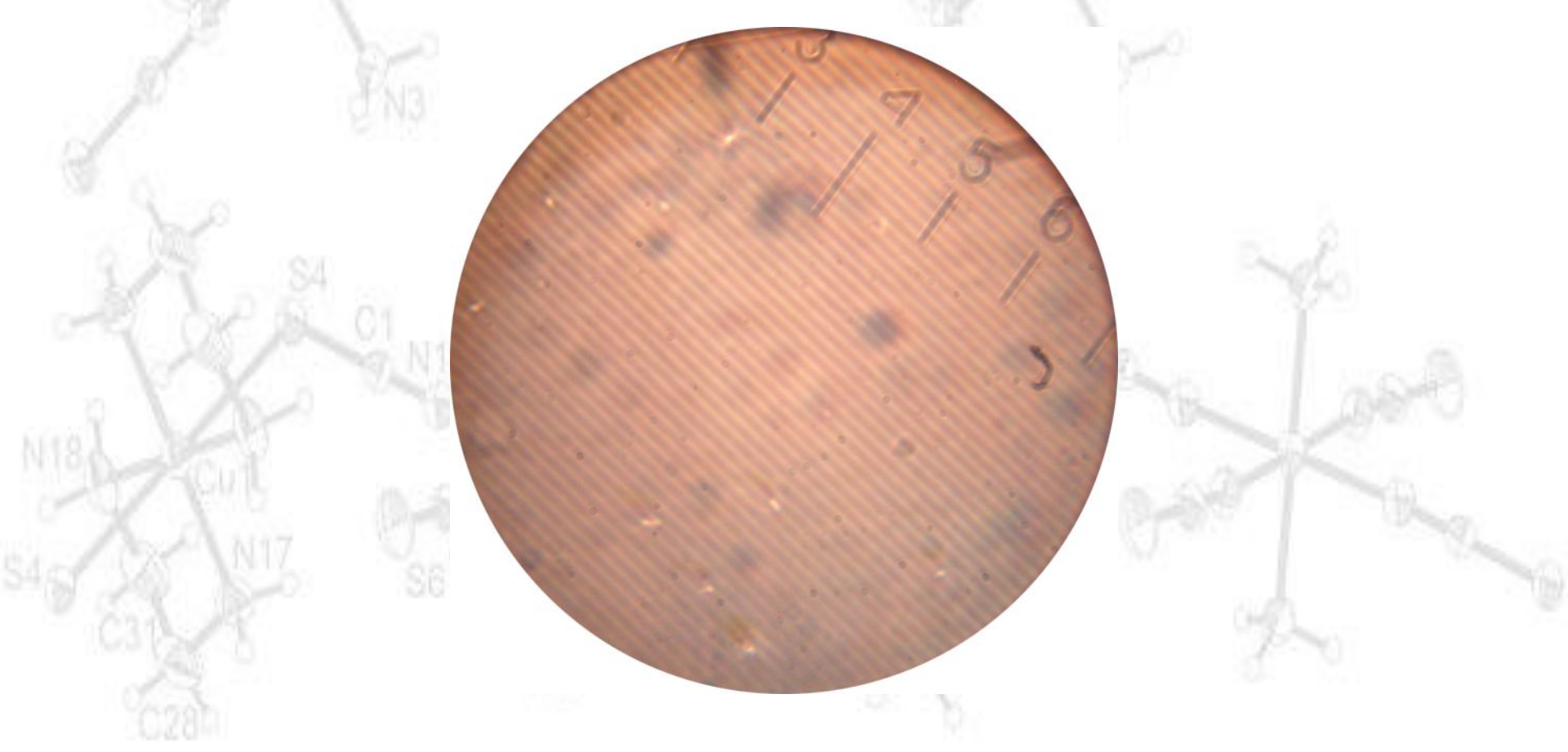


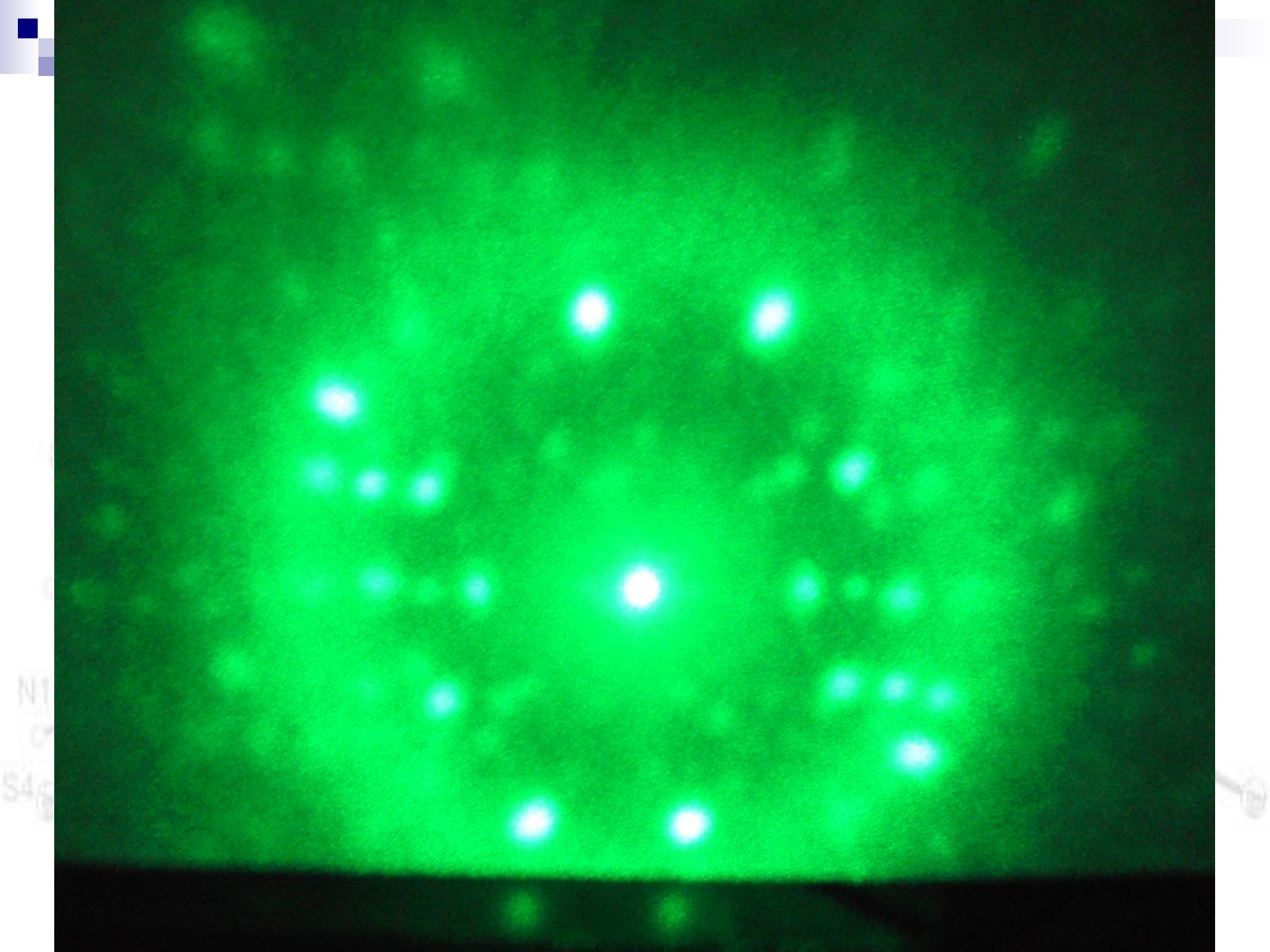
ΠC + 10 % Stilb

Фотография восстановленного изображения амплитудной голограммы плоского волнового фронта, записанной в пленке ФПК ОГК+2% Stilb. ω = 250 мм⁻¹, λ = 532 нм, $I = (I_1 + I_2) = 10^3$ Вт/м², соотношение интенсивностей опорного и объектного лучей 1:1. Соответствующие порядки дифракции показаны стрелками. η = 1 %.



Микрофотография участка поверхности пленки ФПК на основе ОГК + 2 мас % Stilb с записанной голограммой плоского волнового фронта.





Микрофотографии участков поверхности пленки ФПК на основе ОГК + 2 мас % Stilb с записанной голограммой плоского волнового фронта.



А – участок поверхности с хорошо развитым регулярным рельефом



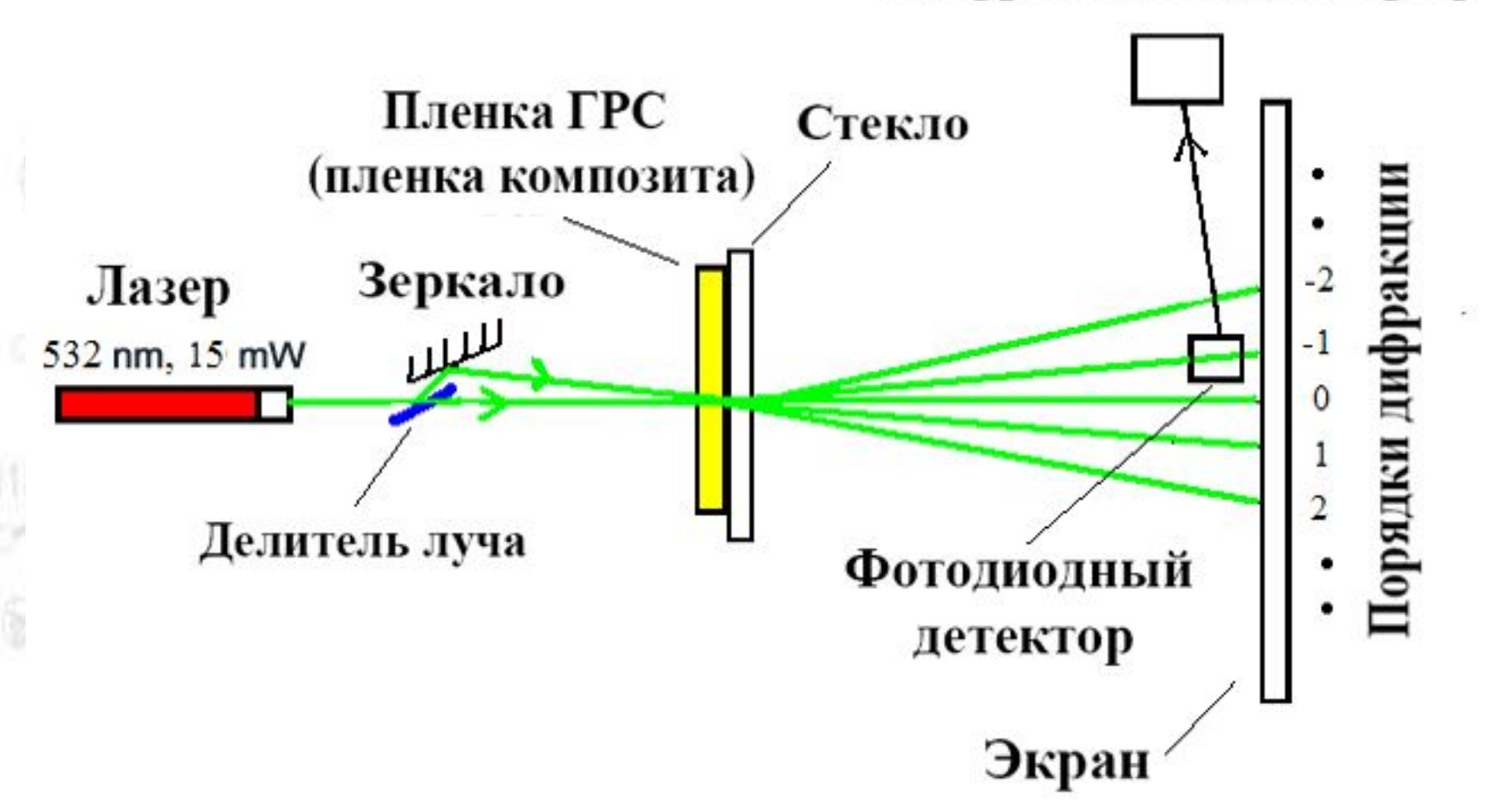
В – участок поверхности заметного совместного развития регулярного рельефа и хаотической нерегулярной морозной деформации



С – участок поверхности характеризующийся преимущественным развитием нерегулярной морозной деформации

Схема эксперимента, поясняющая процедуру записи амплитудных голограмм плоского волнового фронта методом фотовыжигания

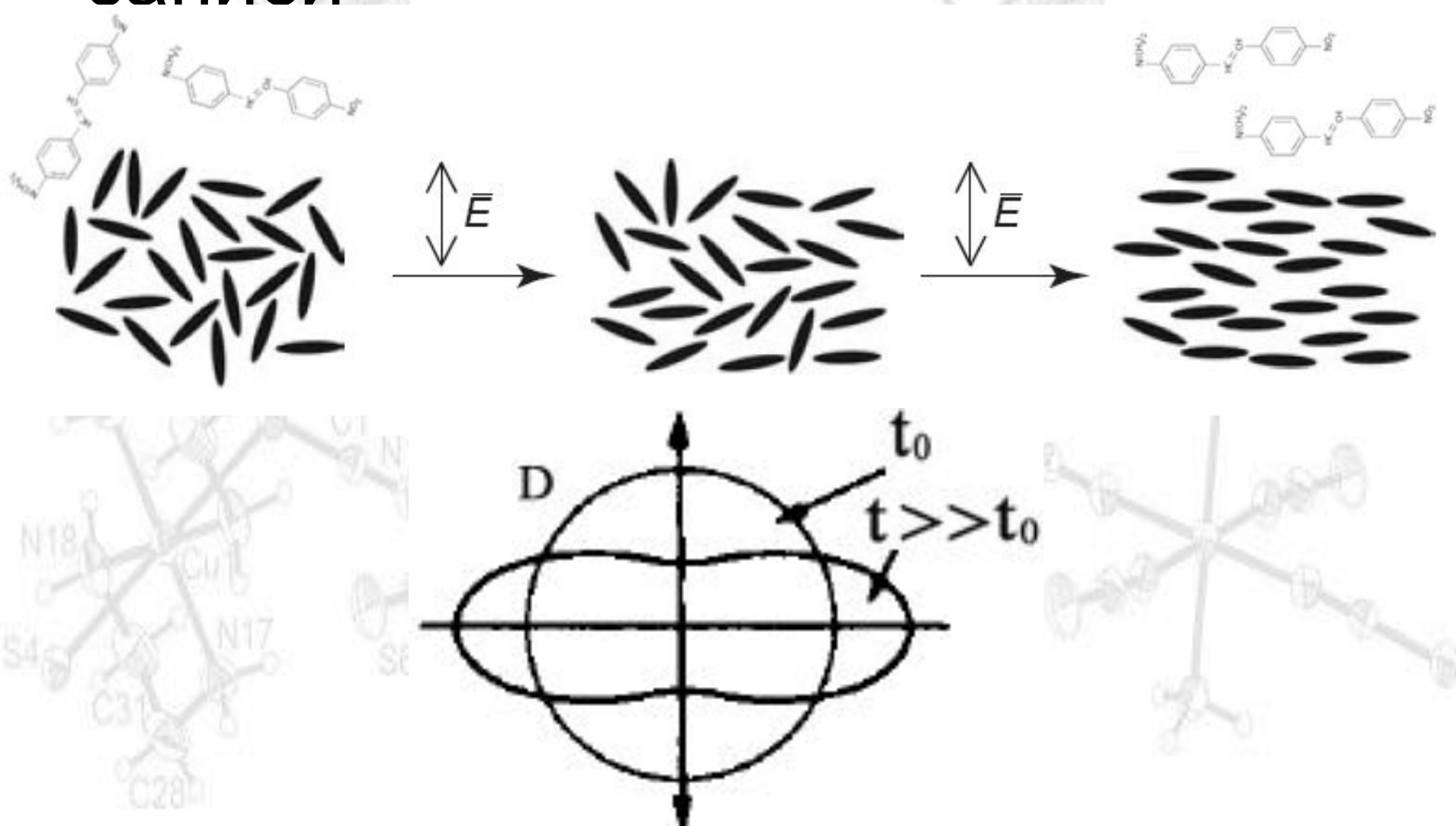
Цифровой осциллограф



Фотография восстановленного изображения амплитудной голограммы плоского волнового фронта, записанной в пленке ФПК ОГК+10% Stilb. ω = 160 мм⁻¹, соотношение интенсивностей опорного и объектного лучей 1:1. Стрелками показаны первые (1-й и -1-й) порядки дифракции. η = 0,035 %.



Микроскопический механизм записи



выводы:

- Созданы новые фотопроводящие олигомерные композиты на основе олиго-N-эпоксипропилкарбазола, сенсибилизированного стильбеновым красителем.
- Во всех полученных композитах обнаружен долгоживущий фотовольтаический эффект, что может быть использовано в частности для оптической записи информации. Показано, что фотовольтаический эффект преимущественно имеет фотодиффузионную природу.
- Полученные олигомерные композиты проявили себя как эффективные реверсивные фоточувствительные регистрирующие среды для фототермопластической записи оптической информации.
- Исследованные композиты оказались потенциально пригодны в качестве регистрирующих сред для записи амплитудных голограмм методом фотовыжигания.



- перпендикулярно до Еех, де їхнє поглинання мінімальне. Таким чином фотоініційоване довільне обертання веде до акумуляції азохромофорів у напрямку, перпендикулярному поляризації падаючого світла. Цей механізм відомий як переорієнтація, або кутовий перевнесок.
- На рисунку 5. представлено схему обох механізмів, на якій показано зміну концентрації транс-форми азофрагментів (значення оптичної густини D пропорційне концентрації азофрагментів) відносно напрямку поляризації падаючого світла Еех під час опромінення. Слід відмітити, що у тому ж самому напрямку (кут θ) через певний час опромінення (ті) концентрація транс-азохромофорів для кожного з механізмів різна. У будьякий проміжок часу до насичення найбільша концентрація транс-ізомерів спостерігається у напрямку перпендикулярному поляризації світла Е.

■ a) 6)

• Рисунок 5. Зміна концентрації транс-азохромофорів (пропорційна D) під дією УФ-опромінення відносно напрямку поляризації падаючого світла Еех: а) фотоселекція, або кутове фотовипалювання; б) переорієнтація, або кутовий перевнесок; – початкова орієнтація, ------ – кінцева.

В нашому дослідженні ми висвітлюємо правила впорядкування в поліметакрилатах, що містять бічні азобензольні групи. Це один із найбільш відомих класів азополімерів, який є досить перспективним у практичному використанні завдяки відносно високій термічній стійкості, чудовій плівкоутворюючій здатності, досить нескладному синтезу тощо. До цього

